

Interacção electrão-muão (aprox. OPE)

A amplitude de difusão é:

$$|A|^2 \propto \sum_{\text{spins}} \left| J^\mu \frac{q^2}{q^2} J_\mu \right|^2 = \frac{e^4}{q^4} L_{\mu\nu}^{(e)} L_{\nu\mu}^{(\mu)}$$

corrente do electrão

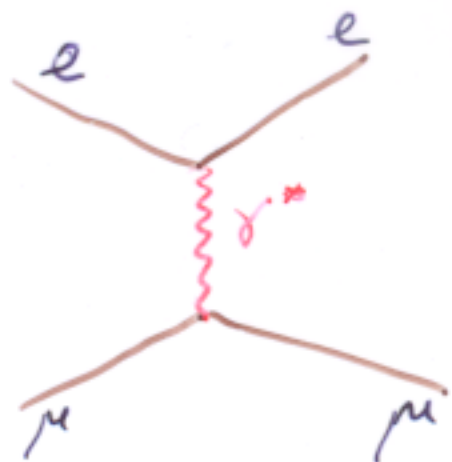
corrente do muão

propagador do fotão

$$J_\mu = \bar{u}(p) \gamma_\mu u(p)$$

u, \bar{u} : spinores

γ_μ : matriz "Y" de Dirac



É o termo da secção eficaz que contém a dinâmica da interacção.

Para feixes não polarizados faz-se uma média sobre Spins no canal de entrada; bem como uma soma sobre os Spins dos produtos finais.

Após laborioso cálculo vem, para um electrão de energia E' detectado segundo o ângulo sólido $d\Omega$:

$$\frac{d^2\sigma}{d\Omega dE'} = \frac{4\alpha^2 E'^2}{q^4} \left[\cos^2 \frac{\theta}{2} - \frac{q^2}{2M^2} \sin^2 \frac{\theta}{2} \right] 2M \frac{d^3 p_4}{2E_4} \delta^{(4)}(q + p - p_4)$$

No caso dumha secção eficaz inclusiva, podemos integrar em $d^3 p_4$ (não observamos o muão):

$$\frac{d^2\sigma}{d\Omega dE'} = \frac{4\alpha^2 E'^2}{Q^4} \left[\cos^2 \frac{\theta}{2} + \frac{Q^2}{2M^2} \sin^2 \frac{\theta}{2} \right] \delta(\Omega - \frac{Q^2}{2M})$$

Nota: $\delta(\underbrace{p_1 + p_2 - p_3 - p_4}_{\sim \sim \sim \sim}) = \delta(\underbrace{p_2 + (\underbrace{p_1 - p_3}_{\sim}) - p_4}_{\sim \sim \sim}) = \delta(\underbrace{p + q - p_4}_{\sim \sim \sim}) =$
 $= \delta(2M\gamma - Q^2) \cdot \delta(\vec{p} + \vec{q} - \vec{p}_4)$

$$\Rightarrow \int \delta(\vec{p} + \vec{q} - \vec{p}_4) \cdot \delta(2M\gamma - Q^2) \frac{d^3 p_4}{2E_4} =$$
 $= \delta(2M\gamma - Q^2) = \frac{1}{2M} \delta(\gamma - \frac{Q^2}{2M})$

Interacção electrão - protão (OPE)

- Difusão elástica: $e p \rightarrow e p$

Tudo é equivalente no vértice superior (leptónico).

Em relação ao vértice Hadrónico, a corrente e.m. do protão é ainda

$\bar{u}(p') T_\mu u(p)$, mas T_μ é mais geral que γ_μ (caso da corrente vectorial pontual)

A forma mais geral, que conserva a paridade é:

$$T_\mu = \bar{u}(p') \left[F_1(q^2) \gamma_\mu + \frac{K}{2M} F_2(q^2) i \sigma_{\mu\nu} q^\nu \right] u(p)$$

A causa é o protão não ser pontual: ter uma distribuição de carga eléctrica e uma componente magnética (mom. magn.: $(1+K)e/2M$; $K \rightarrow$ mom. anómalo)

Costumam definir-se os factores de forma eléctrico e magnético do protão como combinação linear dos $F_{1,2}(q^2)$:

$$\begin{cases} G_E \equiv F_1 - \frac{K Q^2}{4M^2} F_2 \\ G_M \equiv F_1 + K F_2 \end{cases}$$

Calculando $|A|^2 = (e^4/q^4) L_{\mu\nu}^{(e)} L_{(p)}^{\mu\nu}$, obtemos:

$$\frac{d^2\sigma}{dQ^2 dE'} = \frac{4\alpha^2 E'^2}{Q^4} \left\{ \frac{(G_E^2 + (Q^2/4M^2) G_M^2)}{1 + Q^2/4M^2} \cos^2 \frac{\theta}{2} + 2 \frac{Q^2}{4M^2} G_M^2 \sin^2 \frac{\theta}{2} \right\} S\left(\nu - \frac{Q^2}{2M}\right)$$

Se $G_E = G_M = 1$, que corresponde a fazer-se $F_1 = 1$, $F_2 = 0$, obtemos de novo a expressão da interacção pontual.

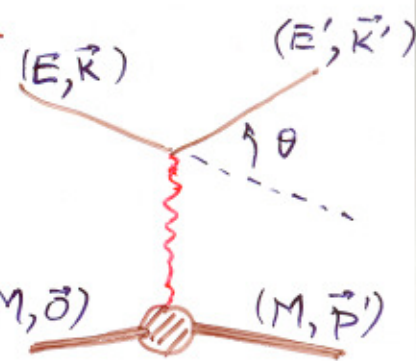
Os factores de forma são tais que

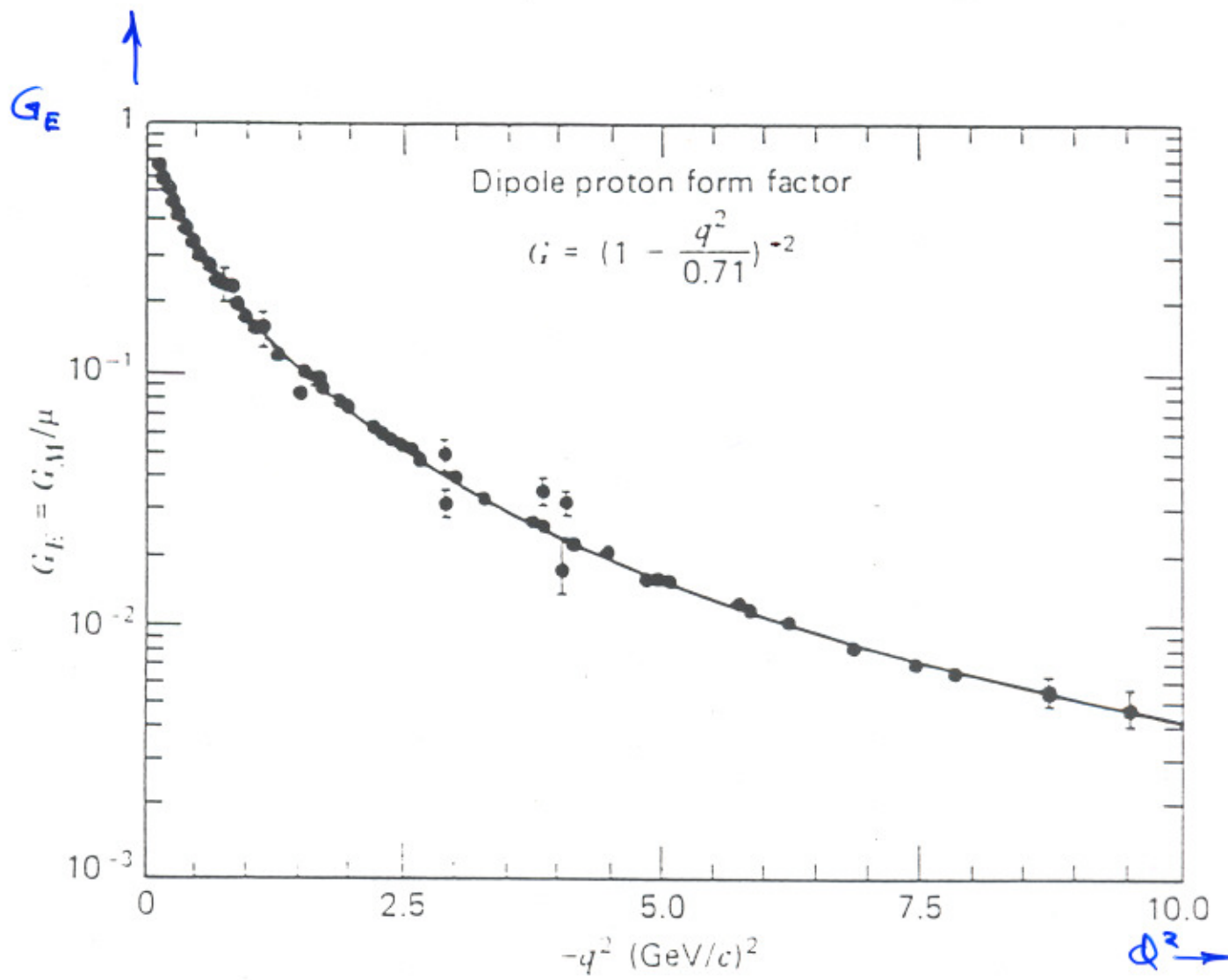
$$G_E(Q^2) \approx G_M(Q^2) \approx \frac{1}{\left[1 + \frac{Q^2}{0.71(\text{GeV})^2}\right]^2}$$

pelo que se

(comportamento dipolar),

$$\text{tem } \frac{\sigma(ep \rightarrow e p)}{\sigma(ep \rightarrow e \mu)} \propto \frac{1}{(Q^2)^4}$$





Nota sobre factores de forma

$$\frac{d\sigma}{d\Omega} = \left(\frac{d\sigma}{d\Omega} \right)_{\text{pontual}} \cdot |F(q)|^2$$

- Exemplo sobre $F(q)$ - factor de forma :

- Distribuição de carga : $\int p(\vec{r}) d^3r = 1$

- Transformada de fourier $\Rightarrow F(\vec{q}) = \int p(\vec{r}) e^{i\vec{q} \cdot \vec{r}} d^3r$

- Após integração angular : $F(q) = 2\pi \int f(r) \frac{e^{iqr} - e^{-iqr}}{iqr} r^2 dr$

\Rightarrow Se, p. exº! $f(r) = e^{-mr}$, tem :

$$F(|\vec{q}|) = \frac{1}{(1 - q^2/m^2)^2}$$

dipolo

Examples of form factors of different spatial distributions are given in the table below (WILSON, 1969).

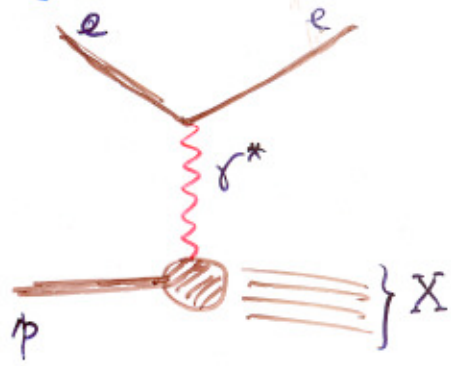
Charge distribution	Form factor
point	$F(q^2) = 1$ unity
exponential	$F(q^2) = \left[\frac{1}{1 + q^2/a^2} \right]^2$ dipole
Yukawa	$F(q^2) = \frac{1}{1 + q^2/a^2}$ pole
Gaussian	$F(q^2) = e^{-(q^2/2a^2)}$ Gaussian

• Difusão inelástica: $e p \rightarrow e + \text{hadrôes}$

No vértice do protão, tudo se complica devido à sua fragmentação em diversas partículas.

A amplitude de difusão é agora:

$$|A|^2 \propto \sum_{\mu\nu} W^{\mu\nu}$$



tensor hadrônico, possui 4 termos simétricos (que não violam a paridade) dos quais só 2 são independentes (após imposição de conservação da corrente no vértice).

A seção eficaz vem:

$$\frac{d^2\sigma}{d\Omega dE'} = \frac{4\alpha^2 E'^2}{Q^4} [W_2(v, q^2) \cos^2 \frac{\theta}{2} + 2 W_1(v, q^2) \sin^2 \frac{\theta}{2}]$$

• W_1 e W_2 são funções de estrutura do protão e são, no caso geral, funções de v e Q^2 .

Estão relacionadas com o facto de o fotão ser virtual $\Rightarrow \begin{cases} \text{polarização transversa } \lambda = \pm 1 \text{ (mesmo se } m_\gamma = 0) \\ \text{polarização longitudinal } \lambda = 0 \text{ (só se } m_\gamma \neq 0) \end{cases}$

Quer dizer, a seção eficaz possui 2 termos, representando a fotoabsorção de fotões "transversos" e "longitudinais":

$$\frac{d^2\sigma}{d\Omega dE'} = T(\sigma_T + \varepsilon \sigma_L), \quad T, \varepsilon = \text{funções}(v, Q^2, \theta, \dots),$$

em que:

$$\begin{cases} \sigma_T \propto W_1(v, q^2) \\ \sigma_L \propto (1 - \frac{v^2}{q^2}) W_2(v, q^2) - W_1(v, q^2) \end{cases}$$

\Rightarrow A maior ou menor facilidade de absorção de fotões "T" ou "L" vai permitir o estudo do spin dos partões.

Interacções e- \bar{p} inelásticas:

- Tensor hadrônico $W^{\mu\nu}$ tem 4 termos simétricos (\bar{q} não violam paridade)

$$W^{\mu\nu} = -W_1 g^{\mu\nu} + \frac{W_2}{M^2} \not{p}^\mu \not{p}^\nu$$

$$+ \frac{W_4}{M^2} \not{q}^\mu \not{q}^\nu + \frac{W_5}{M^2} (\not{p}^\mu \not{q}^\nu + \not{p}^\nu \not{q}^\mu)$$

Nota: W_3 é guardado p/ f. estr.
de violação de paridade (δ -prod)

- Aplicando conservação de corrente no vértice hadrônico 4 termos põem a zero:

$$W_5 = -\frac{\not{p} \cdot \not{q}}{q^2} W_2$$

$$W_4 = \left(\frac{\not{p} \cdot \not{q}}{q^2}\right)^2 W_2 + \frac{M^2}{q^2} W_1$$

$$\Rightarrow W^{\mu\nu} = W_1 \left(-g^{\mu\nu} + \frac{\not{q}^\mu \not{q}^\nu}{q^2} \right) + W_2 \frac{1}{M^2} \left(\not{p}^\mu - \frac{\not{p} \cdot \not{q}}{q^2} \not{q}^\mu \right) \left(\not{p}^\nu - \frac{\not{p} \cdot \not{q}}{q^2} \not{q}^\nu \right)$$

- As funções de estrutura, no caso elástico $e^p \rightarrow e^p$ têm a forma:

$$\begin{cases} W_1^{el}(y, Q^2) = \frac{Q^2}{4M^2} G_M^2(Q^2) \delta(y - \frac{Q^2}{2M}) & \xrightarrow{Q^2 \rightarrow \infty} 0 \\ W_2^{el}(y, Q^2) = \frac{G_E(Q^2) + (Q^2/4M^2) G_M^2(Q^2)}{1 + Q^2/4M^2} \delta(y - \frac{Q^2}{2M}) & \xrightarrow{Q^2 \rightarrow \infty} 0 \end{cases}$$

- No caso do acoplamento pontual, valem:

$$\begin{cases} W_1^{pont}(y, Q^2) = \frac{Q^2}{4M^2} \delta(y - \frac{Q^2}{2M}) \\ W_2^{pont}(y, Q^2) = \delta(y - \frac{Q^2}{2M}) \end{cases}.$$

Ora, definindo-as como funções sem dimensões:

$$\begin{cases} 2M W_1^{pont} = \frac{Q^2}{2M y} \delta(\frac{Q^2}{2My} - 1) \\ y W_2^{pont} = \delta(\frac{Q^2}{2My} - 1) \end{cases}$$

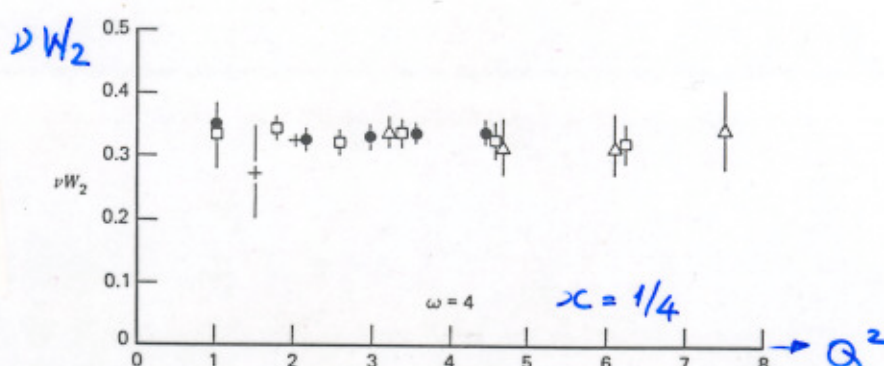
verificamos que são apenas funções da variável adimensional $x = \frac{Q^2}{2My}$.

Quer dizer:

$$\begin{array}{ccc} 2M W_1(y, Q^2) & \xrightarrow{y, Q^2 \rightarrow \infty} & 2F_1(x) \\ y W_2(y, Q^2) & \xrightarrow{x \text{ fixo}} & F_2(x) \end{array}$$

Invariância
de escala de
Bjorken

Experimentalmente, descobriu-se que a difusão inelástica profunda em nucleões revela esta ausência de escala de massa.



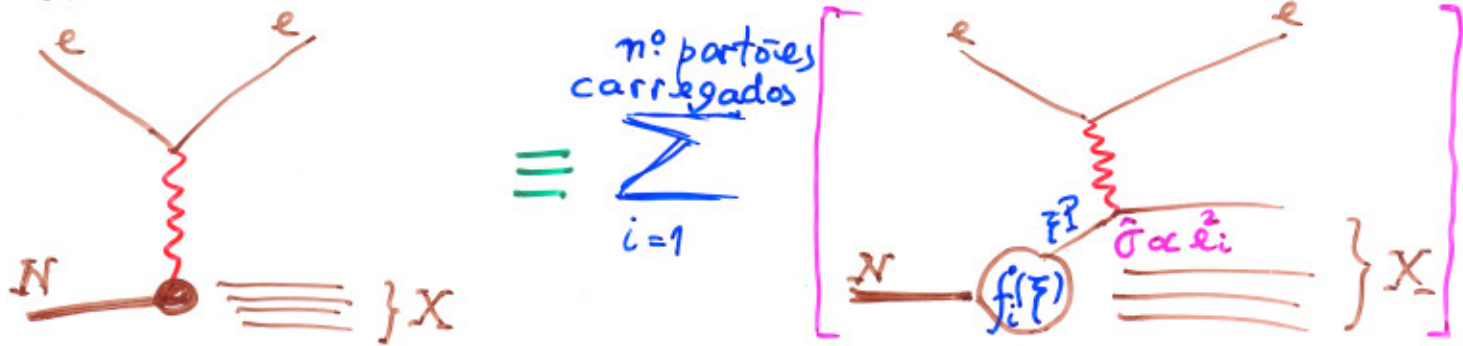
Conclusão: A grande Q^2 , a difusão inelástica e^-N torna-se difusão elástica elétrão-partão.

Modelo dos partões

No caso partônico, temos ($m = \xi M$):

$$\left\{ \begin{array}{l} W_1^{\text{part}}(v, Q^2) = \frac{Q^2}{4m^2} \delta(v - \frac{Q^2}{2m}) = \frac{Q^2}{4\xi^2 M^2} \frac{1}{v} \delta(1 - \frac{Q^2}{2\xi M v}) \\ W_2^{\text{part}}(v, Q^2) = \delta(v - \frac{Q^2}{2m}) = \frac{1}{v} \cdot \delta(1 - \frac{Q^2}{2\xi M v}) \end{array} \right.$$

Como a interação global e-N se pode conceber como uma sobreposição de interações pontuais:



obtemos, para as funções de estrutura do nucleão:

$$2M W_1(v, Q^2) \longrightarrow 2F_1(x) = \sum_i \int \ell_i^2 f_i(\xi) \frac{x}{\xi^2} \delta(1 - \frac{x}{\xi}) d\xi$$

$$2W_2(v, Q^2) \longrightarrow F_2(x) = \sum_i \int \ell_i^2 f_i(\xi) \delta(1 - \frac{x}{\xi}) d\xi$$

Integrando para todos os valores de ξ ($0 \leq \xi \leq 1$):

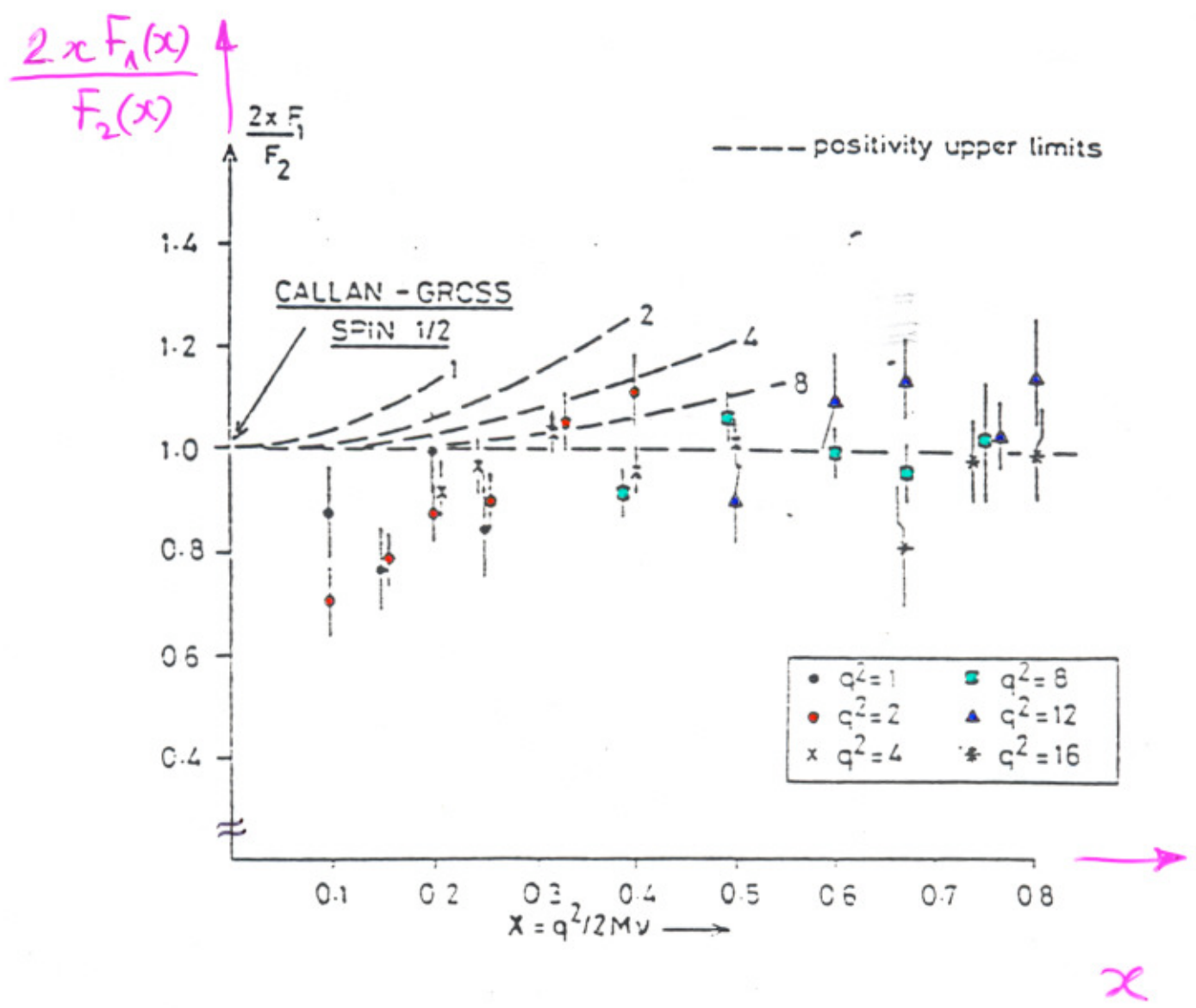
$$F_2(x) = \sum_i \ell_i^2 x f_i(x)$$

E, no caso de os partões terem spin = $1/2$ (podem então absorver fotões transversos: $\lambda = \pm 1$), como

$$W_1 \propto \Gamma_T \neq 0 \quad , \quad \text{vem:}$$

$$2x F_1(x) = F_2(x)$$

Relação de Callan-Gross



Note-se que a fração ξ do momento do nucleão, P , transportada pelo partão que vai interagir com o fotão virtual é, pela conservação da energia-impulsão, igual ao invariante adimensional x do γ^* , "responsável" pela invariância de escala das funções de estrutura.

OU seja, $x = \xi$ (ou x_F).
 de Bjorken de Feynman

Hipóteses do modelo dos partões

- Interacção do fotão (com $\nu, Q^2 \rightarrow \infty$ e $x = \frac{Q^2}{2M\nu}$ finito) com objectos pontuais quase-livres, os partões.
 Justificação a posteriori: liberdade assintótica em QCD perturbativa.
- Interacções dos partões, no estado final (fragmentação em hadrões), só aparecem numa escala de tempo

$$\tau_{\text{fragm}} \sim \frac{R}{c} \propto \frac{10^{-15} \text{ m}}{3 \times 10^8 \text{ m/s}} \times (1-10) \sim 10^{-23} \text{ s} \gg$$

$$\gg \tau_{\text{pont}} \sim \frac{\hbar}{\sqrt{Q^2 c}} = \frac{\hbar c}{\sqrt{Q^2 c} \cdot 5 \times 10^8 \text{ m/s}} \sim \frac{0,2 \text{ fm.GeV}}{5 \times 10^8 \text{ m/s}} \approx \frac{1}{100} \times 10^{-15} \text{ s} = 10^{-25} \text{ s}$$

- ausência de momento transverso intrínseco (k_T) dos partões (movimento de fermi).

\Rightarrow Consequência principal: invariância de escala:

$$\frac{d^2\sigma}{dQ^2 dx} = f(x) \quad (\neq f(Q^2))$$

Os partões como quarks

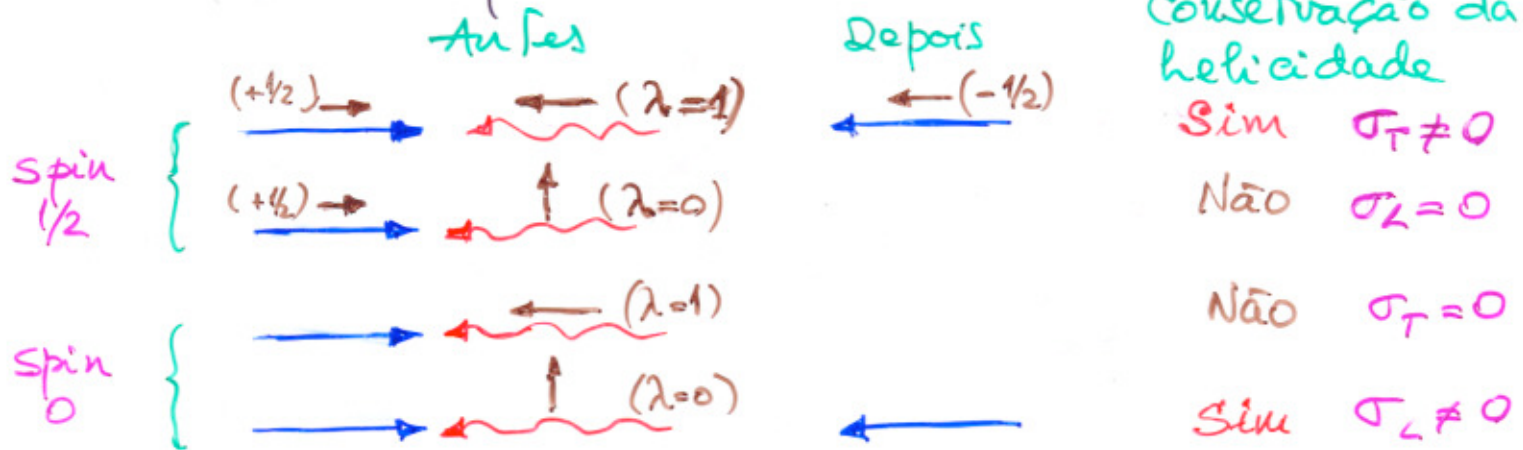
• Spin dos partões

Também vistos que, para o fotão virtual

Polarização transversa ($\lambda = \pm 1$): $\sigma_T \propto W_1$

Polarização longitudinal ($\lambda = 0$): $\sigma_L \propto (1 - \frac{v^2}{q^2}) W_2 - W_1$

Então se os partões têm

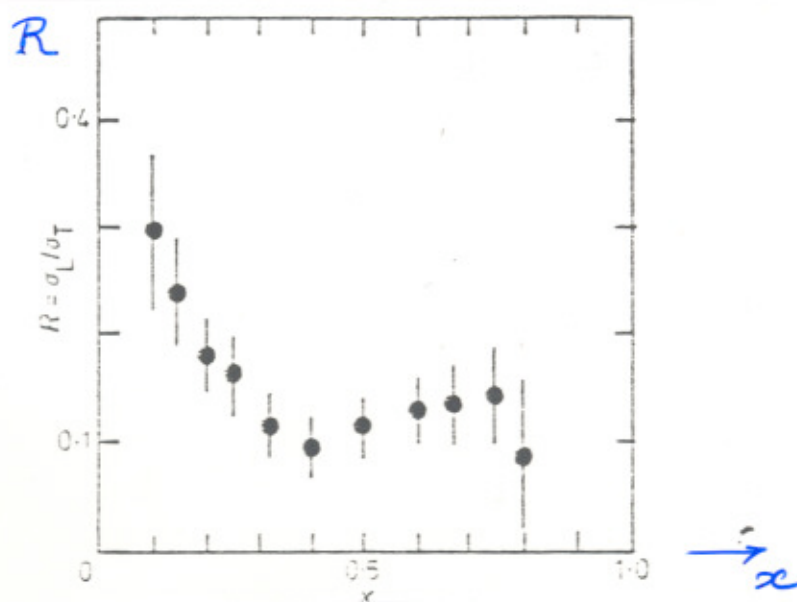


Definindo a relação $R = \frac{\sigma_L}{\sigma_T}$ vem que

$$R = \begin{cases} \rightarrow 0 & \text{se partão tem spin } 1/2 \\ \rightarrow \infty & \text{se partão tem spin } 0 \end{cases}$$

De facto, por um lado, o modelo de quarks pressupõe que os quarks são fermões de spin $1/2$.

Por outro lado, experimentalmente obtém-se:



• Carga eléctrica

Também visto que

$$2x F_1(x) = f_2(x) = \sum_i e_i^2 x f_i(x)$$

Ora, no modelo de quarks

$$p = \begin{pmatrix} u \\ u \\ d \end{pmatrix} \begin{matrix} +2/3 \\ +2/3 \\ -1/3 \end{matrix}$$

$$\downarrow \\ \text{carga} = 1$$

$$n = \begin{pmatrix} u \\ d \\ d \end{pmatrix} \begin{matrix} +2/3 \\ -1/3 \\ -1/3 \end{matrix}$$

$$\downarrow \\ \text{carga} = 0$$

fazendo $f_i(x) = u(x)$ ou $f_j(x) = d(x)$, vem:

$$\frac{1}{x} F_2^{ep} = \left(\frac{2}{3}\right)^2 [u^p(x) + \bar{u}^p(x)] + \left(-\frac{1}{3}\right)^2 [d^p(x) + \bar{d}^p(x)] + \left(-\frac{1}{3}\right)^2 [s + \bar{s}]$$

$$\frac{1}{x} F_2^{en} = \left(\frac{2}{3}\right)^2 [u^n(x) + \bar{u}^n(x)] + \left(-\frac{1}{3}\right)^2 [d^n(x) + \bar{d}^n(x)] + \dots$$

Ora, o neutrão e o protão formam um doblete no espaço do isospin do nucleão:

$$N = \begin{pmatrix} p \\ n \end{pmatrix} \begin{matrix} +1/2 \\ -1/2 \end{matrix}$$

Simetria introduzida para explicar as invarianças

$$\sigma_{pp} = \sigma_{pn} = \sigma_{nn}$$

Então, os constituintes do nucleão também são tais que

$$\begin{pmatrix} u \\ d \end{pmatrix} \begin{matrix} I_3 \\ +1/2 \\ -1/2 \end{matrix}$$

Quer dizer, a probabilidade de encontrar nos

$$u^P(x) = d^n(x) \equiv u(x)$$

$$d^P(x) = u^n(x) \equiv d(x)$$

$$s^P(x) = s^n(x) \equiv s(x)$$

Logo, podemos escrever:

$$\frac{1}{x} f_2^{ep} = \frac{4}{9} [u(x) + \bar{u}(x)] + \frac{1}{9} [d(x) + \bar{d}(x) + s(x) + \bar{s}(x)]$$

$$\frac{1}{x} f_2^{en} = \frac{4}{9} [d(x) + \bar{d}(x)] + \frac{1}{9} [u(x) + \bar{u}(x) + s(x) + \bar{s}(x)]$$

Estas expressões devem ter restrições devidas a estranheza global do nucleo, carga, isospin e momento totais. São as chamadas Regras de soma.

- Regras de soma (do protão)

Estranheza $\int [(-1) s(x) + \bar{s}(x)] dx = 0$

Carga eléctrica $Q \equiv \sum_i e_i f_i(x) dx = 1$

$$\Rightarrow \int \left\{ \frac{2}{3} [u(x) - \bar{u}(x)] - \frac{1}{3} [d(x) - \bar{d}(x)] \right\} dx = 1$$

Isospin $I_3 = \sum_i I_{3i} f_i(x) dx = \frac{1}{2}$

$$\Rightarrow \int \left\{ \frac{1}{2} [u(x) - \bar{u}(x)] - \frac{1}{2} [d(x) - \bar{d}(x)] \right\} dx = \frac{1}{2}$$

Então:

- $3 \times Q - 2 \times I_3 \Rightarrow \int [u(x) - \bar{u}(x)] dx = 2$

- $3 \times Q - 4 \times I_3 \Rightarrow \int [d(x) - \bar{d}(x)] dx = 1$

Quer dizer, o modelo dos partões dá-nos 2 partões e 1 partão de líquidos, isto é, "acima" dum "mar" de pares \bar{q} e q .

De onde a separação:

$$q(x) = q_{\text{val}}(x) + q_{\text{mar}}(x)$$

e as hipóteses:

$$s_{\text{val}}(x) = \bar{s}_{\text{val}}(x) = \bar{u}_{\text{val}}(x) = \bar{d}_{\text{val}}(x) = 0$$

$$u_{\text{mar}}(x) = \bar{u}_{\text{mar}}(x) = d_{\text{mar}}(x) = \bar{d}_{\text{mar}}(x) = s_{\text{mar}}(x) = \bar{s}_{\text{mar}}(x) = K$$

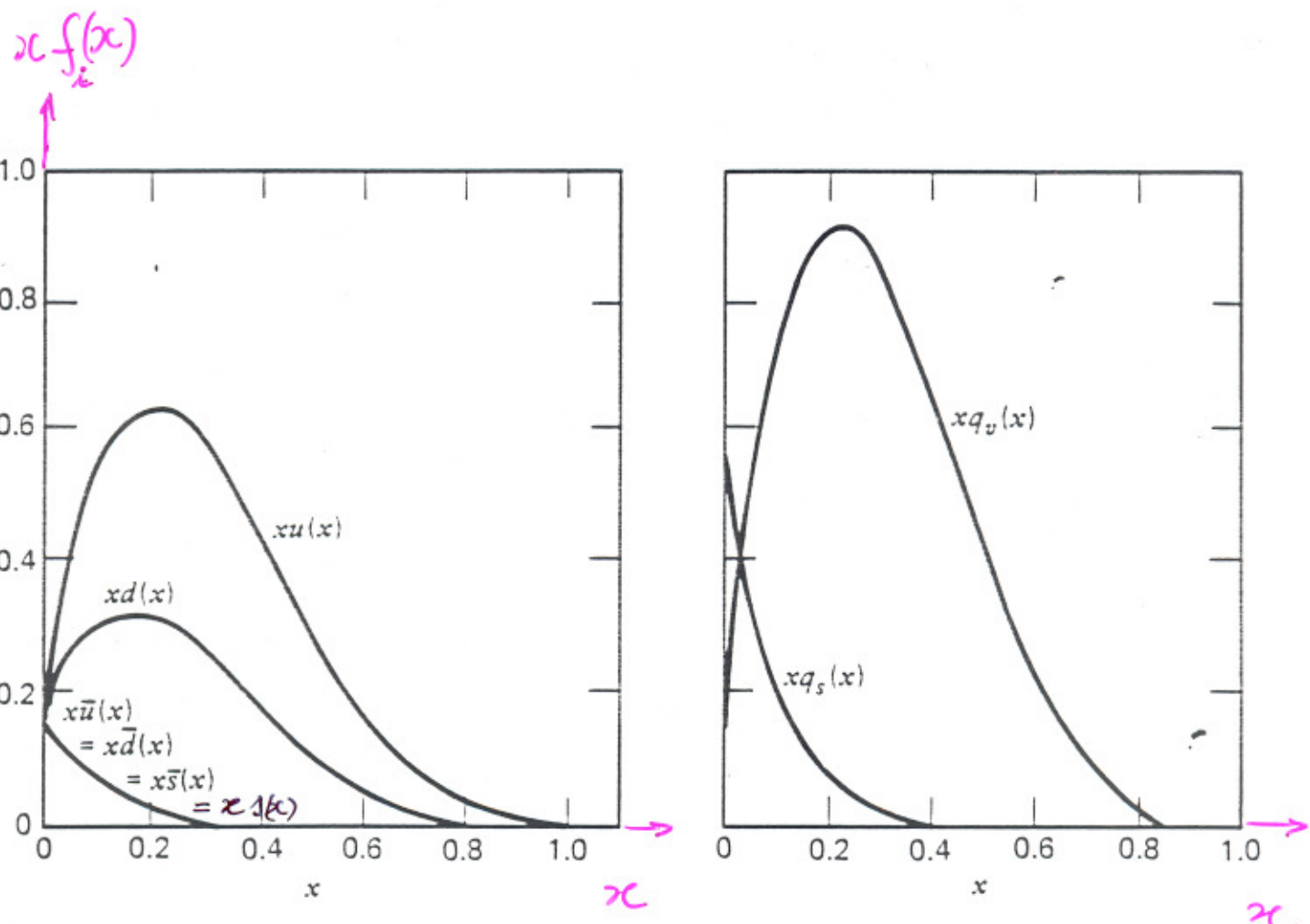
Estava feita a identificação

partões de valência \longleftrightarrow quarks de $SU(3) \otimes SU(2)$
flavour spin

Desta unificação, e das ideias de Teoria Quântica do Campo sobre mediador de interação, resultou a conceção de que cada quark de valência (grande x) pode radiar (bremsstrahlung) gluões que produzem pares $q\bar{q}$ (lentos, baixo x), que formam o mar.

Ora, a probabilidade de um quark radiar uma gluão com grande momento ($\sim x_{q_{\text{val}}}$) tende para zero; e a de radiar gluões com momento \sim nulo $\rightarrow \infty$. Ou seja $P_{\text{gluão}}(x) \sim \frac{1}{x}$

Experimentalmente, tem-se:



Substituindo aquelas hipóteses em F_2^{en} e F_2^{ep} vemos:

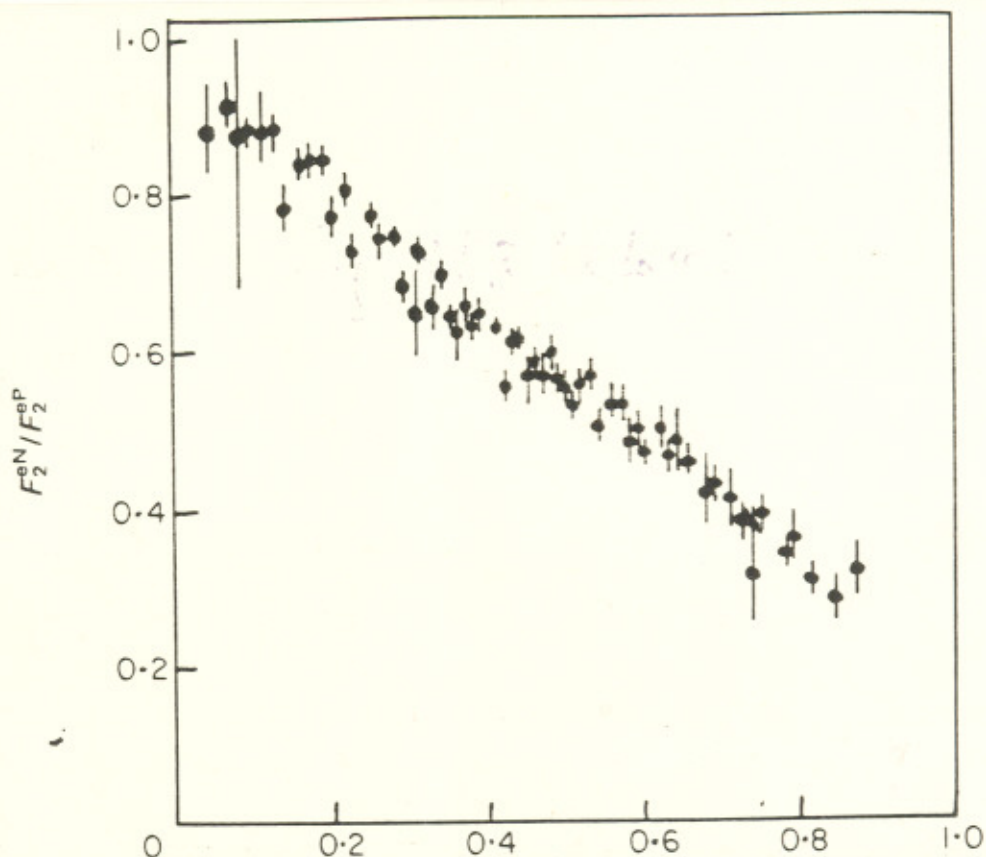
$$\frac{1}{x} F_2^{\text{en}} = \frac{1}{9} [\mu_{\text{val}} + 4d_{\text{val}}] + \frac{1}{9} [4d_{\text{mar}} + 4\bar{d}_{\text{mar}} + u_{\text{mar}} + \bar{u}_{\text{mar}} + s_{\text{mar}}] \\ = \frac{1}{9} [\mu_{\text{val}} + 4d_{\text{val}}] + \frac{12}{9} K$$

$$\frac{1}{x} F_2^{\text{ep}} = \frac{1}{9} [d_{\text{val}} + 4\mu_{\text{val}}] + \frac{12}{9} K$$

- Então, se $K(x)$ é dominante

$$\frac{F_2^{\text{en}}(x)}{F_2^{\text{ep}}(x)} \xrightarrow{x \rightarrow 0} 1$$

Ora, experimentalmente, basta sondar partões com baixo x para que a interacção só se produza com os partões do mar :



- Se tomarmos o outro limite:

$$\frac{F_2^{\text{en}}(x)}{F_2^{\text{ep}}(x)} \xrightarrow{} \frac{\mu_{\text{val}} + 4d_{\text{val}}}{4\mu_{\text{val}} + d_{\text{val}}} \xrightarrow{} \frac{1}{4}, \text{ se } \mu_{\text{val}} \gg d_{\text{val}}$$

como é sugerido experimentalmente.